

01;03

## О капиллярном движении вязкоупругой жидкости с заряженной свободной поверхностью

© С.О. Ширяева, О.А. Григорьев

Ярославский государственный университет им. П.Г. Демидова,  
150000 Ярославль, Россия  
E-mail: rectorat@uniyar.ac.ru

(Поступило в Редакцию 18 мая 1999 г. В окончательной редакции 14 октября 1999 г.)

Исследована структура спектра капиллярно-релаксационных движений жидкости с заряженной свободной поверхностью при учете эффекта релаксации вязкости. На основе численного анализа дисперсионного уравнения для волновых движений в вязкоупругой несжимаемой жидкости показано, что для фиксированного значения волнового числа диапазон значений характерного времени релаксации, в котором существуют волновые движения релаксационного типа, ограничен, с ростом волнового числа он расширяется; инкремент неустойчивости заряженной поверхности жидкости существенно зависит от характерного времени релаксации, увеличиваясь с его ростом; наличие у жидкости упругих свойств приводит к увеличению скорости диссипации энергии капиллярных движений жидкости. При закритическом для начала реализации неустойчивости Тонкса-Френкеля значении поверхностной плотности заряда существуют как чисто гравитационные волны, так и волны релаксационной природы.

Проблема исследования капиллярных движений жидкости, проявляющей упругие свойства, представляет интерес в связи с многочисленными приложениями академического, технического и технологического плана и в этой связи неоднократно становилась предметом внимания (см., например, [1–7] и указанную там литературу). Тем не менее многие вопросы остались невыясненными, что связано с известной громоздкостью теоретического решения, многообразием возможных способов обезразмеривания краевой задачи, большим количеством и сложной структурой безразмерных параметров, появляющихся в окончательном решении [1–7].

Суть проблемы заключается в том, что при достаточно малых временах внешнего воздействия ( $t \leq 10^{-5}$  s) даже ньютоновские жидкости проявляют упругие свойства: они вначале упруго деформируются, после же прекращения действия внешней силы в них остаются остаточные напряжения сдвига, релаксирующие за время  $t \sim 10^{-5}$  s [8] и вызывающие при этом движение жидкости. Этот эффект сказывается и в капиллярном волновом движении, поскольку уже для волн с длиной  $\sim 10 \mu\text{m}$  их период сравним с характерным временем релаксации упругих напряжений. Как показано в [1–7], учет упругих свойств жидкости приводит к заметному усложнению спектра капиллярных движений, вызывая ограничение спектра капиллярных волн и увеличение скорости диссипации энергии волнового движения за счет возникновения на высоких частотах волновых движений фононного типа.

В нижеследующем изложении весь анализ (в отличие от [3], где дисперсионное уравнение для волновых движений вязкоупругой жидкости было получено в рамках микроскопического подхода методами статистической механики) будет проведен в рамках модели сплошной среды на основе уравнений гидродинамики вязкой жидкости

(как это было сделано в [1–2,4–7]) в предположении, что вязкоупругие свойства жидкости можно описать введением комплексной вязкости посредством формулы Максвелла [9]

$$\nu = \nu_0(1 - i\omega t_*)^{-1},$$

представляющей собой фурье-образ экспоненциальной зависимости от времени вязкоупругой жидкости. В этом выражении  $\nu_0$  — коэффициент кинематической вязкости на нулевой частоте,  $\omega$  — комплексная частота,  $t_*$  — характерное время релаксации вязкости,  $i$  — мнимая единица.

Проведенный в [1–7] анализ влияния эффекта релаксации вязкости на закономерности реализации капиллярного движения жидкости с заряженной свободной поверхностью носит преимущественно качественный характер, поскольку проведен либо асимптотическими методами [1–5,7], либо численными, ориентированными на выявление качественных зависимостей [5,6]. В последнем случае речь идет о способах обезразмеривания дисперсионного уравнения перед проведением численных расчетов. В численном анализе [5,6] частота, инкременты и декременты капиллярных движений жидкости обезразмеривались либо на частоту волновых движений в идеальной жидкости с заряженной свободной поверхности, либо на характерный декремент затухания капиллярных волн. В обеих ситуациях преследовалась одна цель — уменьшить количество безразмерных физических параметров, характеризующих капиллярные движения жидкости в рассматриваемой системе. В качестве же изменяющегося аргумента искомых комплексных частот использовался сложный параметр, зависящий от волнового числа, от капиллярного давления и давления электрического поля на свободную поверхность жидкости и через них от физических характеристик жидкости: плотности,

капиллярной постоянной, коэффициента поверхностного натяжения, коэффициента вязкости и от поверхностной плотности электрического заряда. Это обстоятельство затруднило выявление конкретных зависимостей характеристик капиллярного движения жидкости от таких величин, как волновое число  $k$  или поверхностная плотность электрического заряда  $\varkappa$ . Этот недостаток и должен быть устранен в настоящем рассмотрении.

1. Будем решать задачу о расчете спектра капиллярных волн на граничащей с вакуумом плоской заряженной поверхности идеально проводящей жидкости бесконечной глубины с плотностью  $\rho$ , вязкостью  $\nu$ , коэффициентом поверхностного натяжения  $\sigma$ , в поле тяжести  $\mathbf{g}$  и в электростатическом поле  $\mathbf{E}_0$  (поверхностная плотность заряда, индуцированного полем  $E_0$ , на невозмущенной свободной поверхности жидкости связана с  $E_0$  известным соотношением  $E_0 = 4\pi\varkappa$ ). Напряженность электростатического поля  $\mathbf{E}_0$  у поверхности жидкости определяется разностью потенциалов между свободной поверхностью жидкости с нулевым потенциалом и плоским противоземлемым электродом, расположенным параллельно невозмущенной плоской поверхности жидкости на расстоянии  $b$  и имеющим потенциал  $\Phi = V$ .

Расположим декартову систему координат так, чтобы ось  $z$  была направлена вертикально вверх  $\mathbf{n}_z \parallel -\mathbf{g}$  ( $\mathbf{n}_z$  — орт декартовой оси координаты  $z$ ), а ось  $x$  — по направлению движения плоской капиллярной волны  $\sim \exp(ikx - i\omega t)$ . Примем также, что плоскость  $z = 0$  совпадает со свободной невозмущенной поверхностью жидкости. Пусть функция  $\zeta(x, t) = \zeta_0 \exp(ikx - i\omega t)$  описывает малое возмущение равновесной плоской поверхности жидкости, вызванное тепловым капиллярным волновым движением весьма малой ( $\zeta_0 \sim (kT/\sigma)^{1/2}$ ) амплитуды;  $k$  — постоянная Больцмана;  $T$  — абсолютная температура;  $\mathbf{U}(\mathbf{r}, t)$  — поле скоростей движения жидкости, вызванного возмущением свободной поверхности  $\zeta(x, t)$ , имеющее тот же порядок малости [10].

Зададимся вопросом об отыскании спектра капиллярных волн в жидкости при заданных условиях. Математическая формулировка задачи состоит из линеаризованного уравнения Навье–Стокса для несжимаемой жидкости, условия несжимаемости, уравнения Лапласа для расчета потенциала электрического поля у поверхности жидкости и соответствующих граничных условий

$$\frac{\partial \mathbf{U}}{\partial t} = -\frac{1}{\rho} \nabla P(\mathbf{U}) + \nu \Delta \mathbf{U} + \mathbf{g}, \quad (1)$$

$$\operatorname{div} \mathbf{U} = 0, \quad (2)$$

$$\Delta \Phi = 0, \quad \mathbf{E} = -\nabla \Phi, \quad (3)$$

$$z = -\infty: \quad \mathbf{U} = 0, \quad (4)$$

$$z = 0: \quad -\frac{\partial \zeta(x, t)}{\partial t} + U_z = 0, \quad (5)$$

$$\mathbf{n}(\boldsymbol{\tau} \nabla) \mathbf{U} + \boldsymbol{\tau}(\mathbf{n} \nabla) \mathbf{U} = 0, \quad (6)$$

$$-P(\mathbf{U}) + \rho g \zeta + 2\rho \nu \mathbf{n}(\mathbf{n} \nabla) \mathbf{U} - P_E(\zeta) + P_\sigma(\zeta) = 0, \quad (7)$$

$$\Phi = 0, \quad (8)$$

$$z = b: \quad \Phi = V. \quad (9)$$

В этих выражениях  $\mathbf{n}$  и  $\boldsymbol{\tau}$  — единичные векторы нормали и касательной к свободной поверхности жидкости;  $P(\mathbf{U})$  — давление внутри жидкости, связанное с капиллярным движением жидкости и имеющее первый порядок малости по  $\zeta$ ;  $P_E(\zeta)$  и  $P_\sigma(\zeta)$  — добавки к давлению электрических сил на свободную поверхность жидкости и давлению сил поверхностного натяжения, происходящие из-за возмущения  $\zeta(x, t) = A \exp(ikx - i\omega t)$  равновесной плоской поверхности жидкости, вызванного капиллярным волновым движением, имеющие первый порядок малости по  $\zeta$  [11,12],

$$P_\sigma(\zeta) = -\sigma \frac{\partial^2 \zeta}{\partial x^2}, \quad P_E(\zeta) = 4\pi \varepsilon^{-1} \varkappa^2 k \zeta. \quad (10)$$

Принимая во внимание то обстоятельство, что жидкость вязкая, будем искать течения в ней, разделяя в соответствии с теоремой Гельмгольца поле скоростей  $\mathbf{U} = \mathbf{U}(\mathbf{r}, t)$  на две компоненты: потенциальную (с потенциалом скоростей  $\psi(\mathbf{r}, t)$ ) и вихревую (описываемую функцией тока  $\varphi(\mathbf{r}, t)$ ). Тогда выражение для поля давлений  $P(\mathbf{U})$  в жидкости запишется в виде

$$P(\mathbf{U}) = -\rho \frac{\partial \psi}{\partial t} - \rho g \zeta. \quad (11)$$

2. Решение задачи (1)–(6) будем искать в виде [12]

$$U_x(x, z, t) = (ik \cdot B \cdot \exp(-kz) - l \cdot C \cdot \exp(-lz)) \times \exp(ikx - i\omega t),$$

$$U_z(x, z, t) = (-k \cdot B \cdot \exp(-kz) + ik \cdot C \cdot \exp(-lz)) \times \exp(ikx - i\omega t),$$

$$l^2 = k^2 - i\omega \nu^{-1}.$$

$A$ ,  $B$  и  $C$  — константы;  $l$  — характерный линейный масштаб пространственного изменения вихревой компоненты поля скоростей.

Повторяя те же рассуждения, что и в [12], лишь добавив в динамическое граничное условие для нормальной компоненты тензора напряжений слагаемое для давления электрического поля и рассматривая в соответствии с формулой Максвелла вязкость как функцию частоты  $\nu = \nu_0 / (1 - i\omega t_*)$ , получим дисперсионное соотношение, характеризующее капиллярные движения вязкоупругой жидкости с заряженной свободной поверхностью в разном виде

$$\left( \omega + \frac{\nu_0 2ik^2}{(1 - i\omega t_*)} \right) + \frac{4\nu_0^2 k^4}{(1 - i\omega t_*)^2} \sqrt{1 - \frac{i\omega(1 - i\omega t_*)}{\nu k^2}} = \frac{k}{\rho} (g\rho + \sigma k^2 - 4\pi \varkappa^2 k).$$

Вводя безразмерные переменные

$$X = ka, \quad a = \sqrt{\sigma/\rho g}, \quad Y = \frac{\omega a^2}{\nu_0},$$

$$\tau = \frac{t_* \nu_0}{a^2}, \quad \beta = \frac{\sigma a}{\rho \nu_0^2}, \quad W = \frac{4\pi \kappa^2 a}{\sigma},$$

получим

$$[Y(1 - iY\tau) + 2iX^2]^2 + 4X^4 \sqrt{1 - \frac{iY(1 - iY\tau)}{X^2}} = \beta X [1 + X^2 - WX] (1 - iY\tau)^2, \quad (12)$$

где  $a$  — капиллярная постоянная жидкости;  $W$  — параметр Тонкса–Френкеля, характеризующий устойчивость свободной поверхности жидкости по отношению к собственному заряду; капиллярно-гравитационная волна с волновым числом  $k$  на поверхности жидкости претерпевает неустойчивость при  $W > (k + k^{-1})$  [13,14].

3. Зависимости вещественной  $\text{Re } Y = \text{Re } Y(X)$  и мнимой  $\text{Im } Y = \text{Im } Y(X)$  компонент безразмерной частоты  $Y$  от безразмерного же волнового числа  $X$ , рассчитанные численно по уравнению (12) при различных значениях характерного времени релаксации  $\tau$  и параметра Тонкса–Френкеля  $W$ , представлены на рис. 1–8.

Численные расчеты показывают (рис. 1, 2), что при  $W = 0$  (в отсутствии заряда на свободной поверхности жидкости) наличие эффекта релаксации вязкости

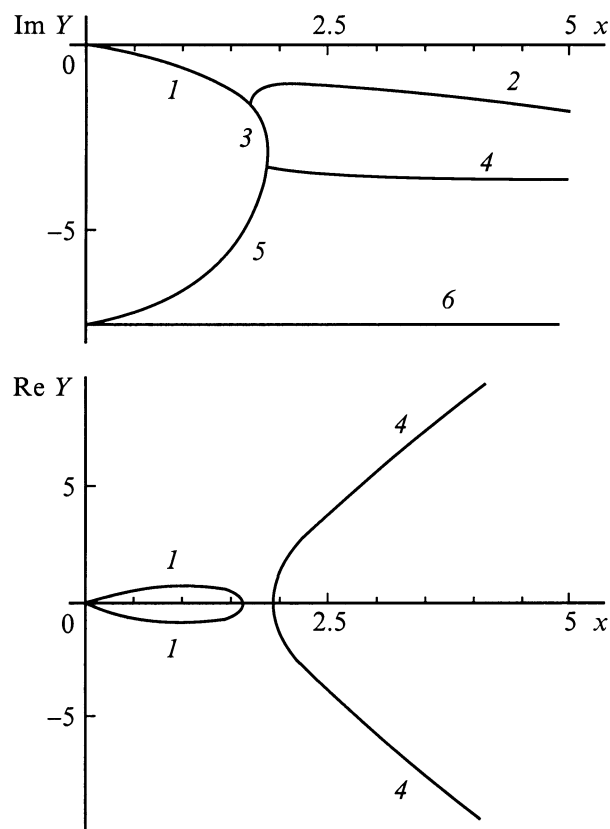


Рис. 1. Зависимости  $\text{Re } Y(X)$  и  $\text{Im } Y(X)$  от  $X$ , рассчитанные при  $\beta = 1$ ,  $W = 0$ ,  $\tau = 0.11$ .

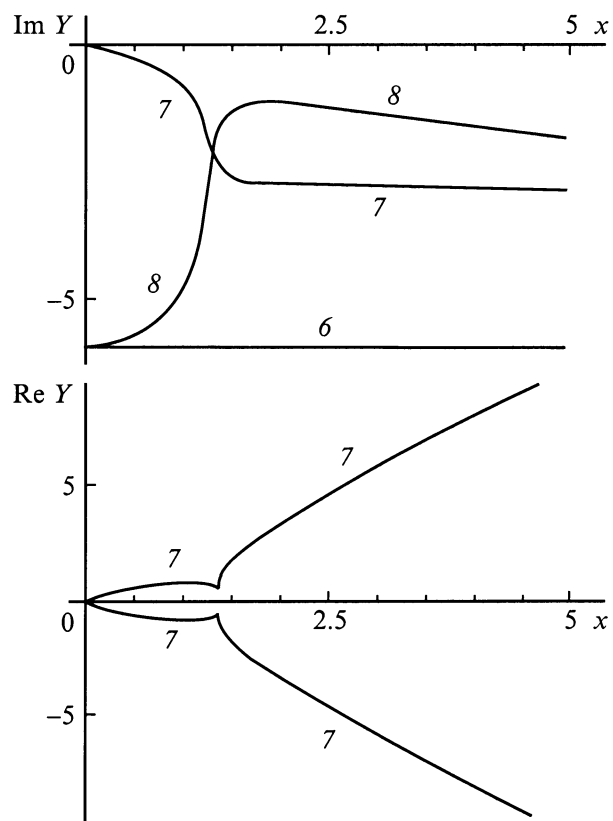


Рис. 2. То же, что и на рис. 1, при  $\tau = 0.17$ ,  $W = 0$ .

приводит к появлению периодического релаксационного движения (ветвь 4), а также двух аperiodических релаксационных движений (ветвь 5 и 6). Ветви 1–3 соответствуют капиллярно-гравитационным движениям жидкости, реализующимся и в отсутствии у жидкости упругих свойств. Увеличение параметра  $\tau$  до 0.17 приводит к исчезновению аperiodического движения 3 и слиянию кривых 1 и 4 с образованием единого капиллярно-релаксационного периодического движения 7, а также аperiodического движения 8, получившегося при слиянии кривых 2 и 5. Дальнейшее увеличение  $\tau$ , не меняя общей качественной картины реализующихся капиллярных движений, уменьшает частоту волновых движений, описываемых ветвью 7, и величины декрементов затухания всех ветвей.

Наличие у свободной поверхности жидкости электростатического поля (поверхностного заряда) докритической в смысле устойчивости Тонкса–Френкеля величины ( $W = 1$ ), не изменяя частот релаксационных колебаний, уменьшает частоты капиллярных волн и приводит к слиянию ветвей 1, 4 и 2, 5 при большем значении  $\tau$  (при  $\tau = 0.3$ ).

При закритической величине электростатического поля ( $W = 3$ ) (рис. 3, 4) происходит существенное сокращение геометрического места точек, соответствующего кривой 1, описывающей капиллярно-гравитационные

волны, и выход кривой 2, соответствующей капиллярно-гравитационным апериодическим движениям, в область  $\text{Im} Y > 0$ , что означает проявление апериодической неустойчивости возмущений поверхности из соответствующего диапазона значений волновых чисел  $k$ .

Увеличение параметра  $\tau$  не приводит к изменению спектра волн, претерпевших неустойчивость в связи с наличием закритического заряда, но вызывает рост инкрементов неустойчивых движений и уменьшает величины декрементов устойчивых решений.

Для существенно закритического значения параметра Тонкса–Френкеля  $W = 6$  (рис. 5) наблюдается расширение спектра волн, испытывающих неустойчивость (ветвь 2), как в область гравитационных волн  $X < 1$ , так и в область капиллярных волн  $X > 1$ , а также исчезновение апериодически затухающих движений 3 и 5.

Таким образом, при докритическом для начала реализации неустойчивости Тонкса–Френкеля значении параметра  $W$  существуют гравитационные, капиллярные и релаксационные волны, при закритическом значении  $W$  капиллярные волны претерпевают неустойчивость в ограниченном диапазоне волновых чисел. Гравитационные же волны ( $k \ll 1$ ), равно как и волны релаксационной природы, остаются. Причем спектры значений волновых чисел, в которых реализуются эти волновые движения, соприкасаются (рис. 3–5).

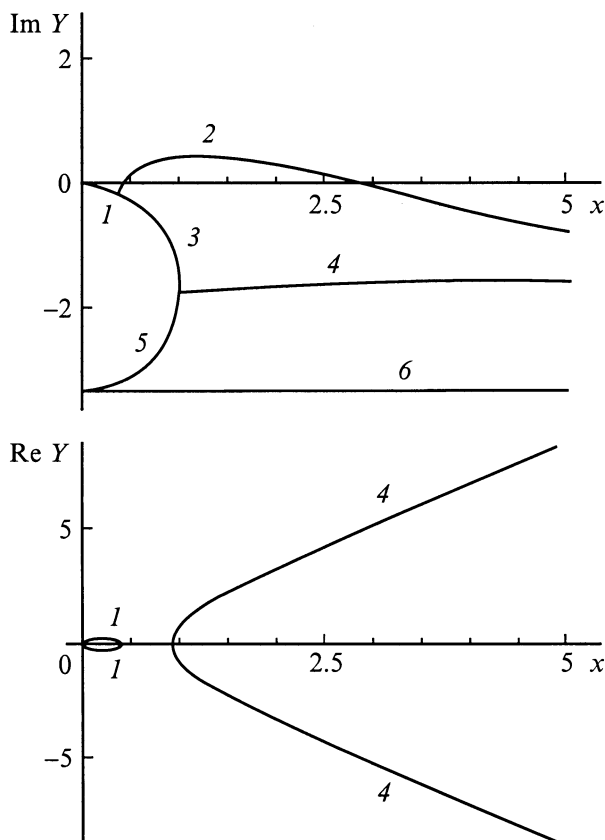


Рис. 3. То же, что и на рис. 1, при  $\tau = 0.3$ ,  $W = 3$ .

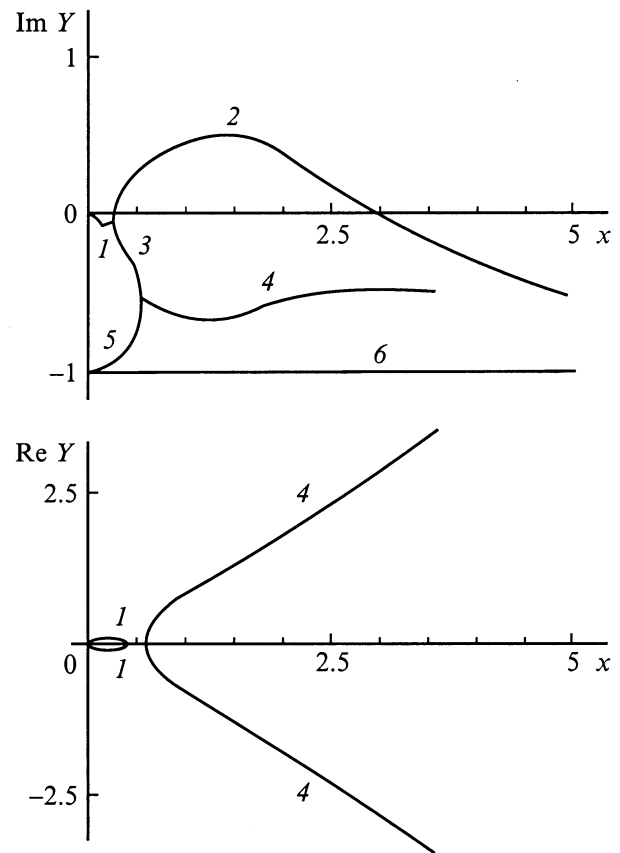


Рис. 4. То же, что и на рис. 1, при  $\tau = 1$ ,  $W = 3$ .

Исследование зависимости инкрементов неустойчивости (часть ветви 2 при  $\text{Im} Y > 0$  на рис. 3–5) от безразмерного волнового числа  $X$  при различных значениях величины характерного времени релаксации упругих напряжений в жидкости  $\tau$  проведено в работе [13] с использованием таких же безразмерных переменных, что и в настоящем рассмотрении. Выяснилось, что анализируемая зависимость является весьма заметной и достигает 100%-го прироста величины инкремента для  $W = 6$  при изменении  $\tau$  от 0.11 до 1 в отличие от выводов качественных исследований [5,6], где даже столь заметный эффект маскировался сложным видом использованных безразмерных переменных и аргументов.

Численное исследование зависимости величины инкремента неустойчивых капиллярных движений жидкости от безразмерного характерного времени релаксации вязкости  $\tau$ , проведенные для различных значений волнового числа  $X$  и различных  $W$ , показали (рис. 6), что инкременты растут с ростом  $\tau$  тем быстрее, чем больше  $W$  и  $X$ .

Зависимости  $\text{Re} Y = \text{Re} Y(W)$  и  $\text{Im} Y = \text{Im} Y(W)$  компонент безразмерной частоты  $Y$  от величины параметра Тонкса–Френкеля  $W$ , рассчитанные при  $X = 1$  и различных значениях  $\tau$ , показывают, что учет эффекта релаксации вязкости  $\tau = 0.1$  по сравнению с чисто

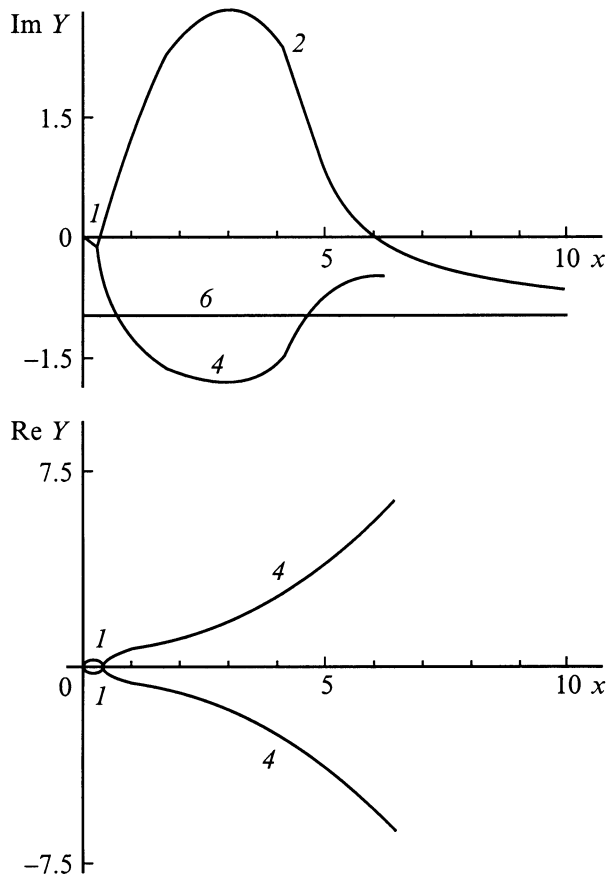


Рис. 5. То же, что и на рис. 1, при  $\tau = 1$ ,  $W = 6$ .

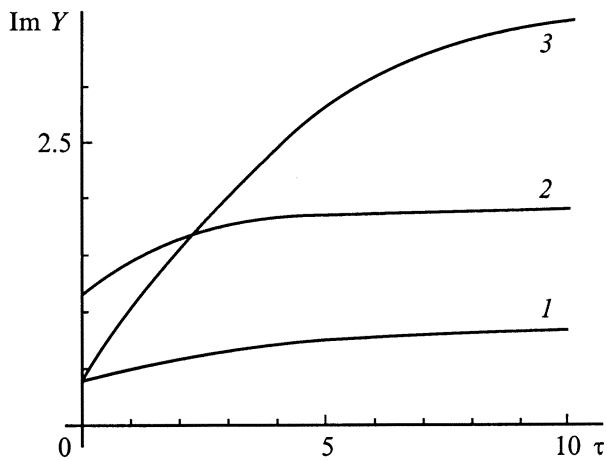


Рис. 6. Зависимости величины безразмерного инкремента неустойчивости от безразмерного характерного времени релаксации вязкости  $\tau$ . 1 —  $X = 1$ ,  $W = 3$ ; 2 —  $X = 1$ ,  $W = 6$ ; 3 —  $X = 5$ ,  $W = 6$ .

гравитационно-капиллярными волновыми движениями, описываемыми ветвями 1–3, приводит к появлению трех апериодических релаксационных движений 4–6, одно из которых (4) при увеличении  $\tau$  до 0.3 (рис. 7) становится

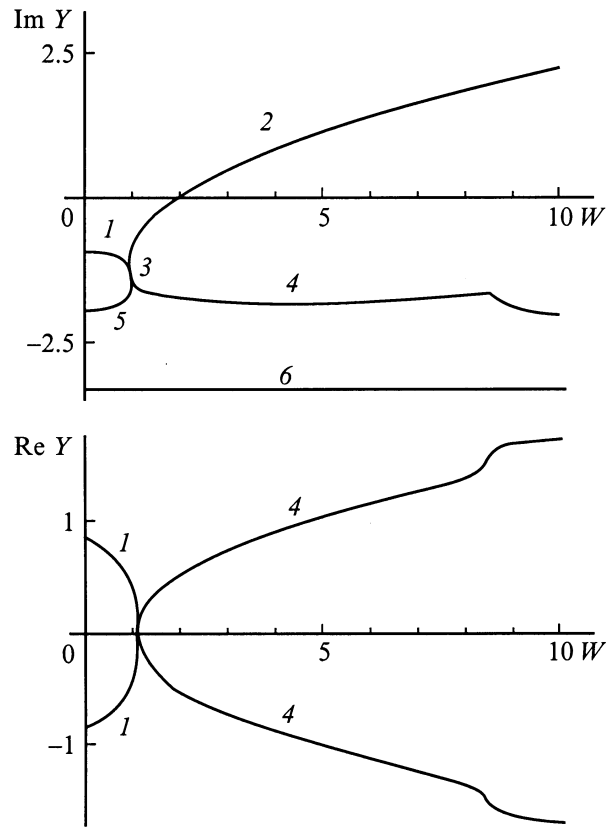


Рис. 7. Зависимости  $\text{Re } Y(W)$  и  $\text{Im } Y(W)$  от величины параметра Тонкса–Френкеля  $W$ .  $X = 1$ ,  $\tau = 0.3$ .

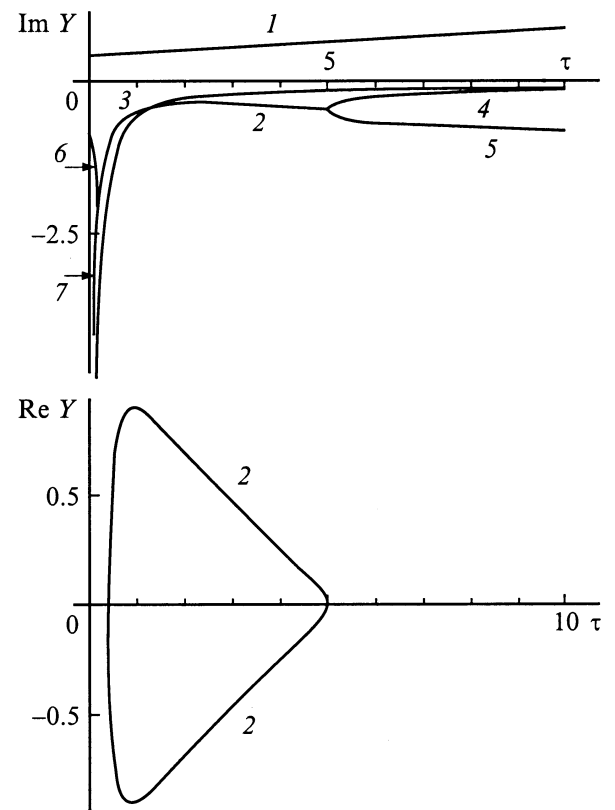


Рис. 8. Зависимости  $\text{Re } Y(\tau)$  и  $\text{Im } Y(\tau)$  от величины безразмерного характерного времени релаксации вязкости  $\tau$ .  $X = 1$ ,  $W = 3$ .

периодическим. Дальнейшее увеличение характерного времени релаксации  $\tau$  приводит к объединению релаксационного (ветви 4) и капиллярно-гравитационного (ветви 1) периодических движений, а также к слиянию аperiodических движений 2 и 5 с образованием составных капиллярно-релаксационных движений.

Зависимости вещественной  $\text{Re } Y = \text{Re } Y(\tau)$  и мнимой  $\text{Im } Y = \text{Im } Y(\tau)$  компонент безразмерной частоты  $Y$  от безразмерного характерного времени релаксации вязкости  $\tau$ , рассчитанные при  $Y = 1$  и  $W = 3$ , приведены на рис. 8. Ветвь 1 описывает зависимость от  $\tau$  величины инкремента неустойчивости, который медленно растет с увеличением  $\tau$ . Ветвь 2 описывает периодические релаксационные движения, существующие, согласно рис. 8, в ограниченном диапазоне значений  $\tau$ . Ветви 3–5 описывают аperiodические релаксационные движения жидкости. Рис. 8 и проведенные при других значениях  $W$  численные расчеты показывают, что периодические релаксационные движения существуют в ограниченном промежутке изменения  $\tau$ , величина которого обратно пропорциональна величине параметра Тонкса–Френкеля  $W$ . С увеличением длины волны диапазон значений  $\tau$ , в пределах которого существуют релаксационные колебания расширяется, а инкремент неустойчивости капиллярных волн увеличивается.

## Заключение

Резюмируя сказанное выше о влиянии эффекта релаксации вязкости на закономерности реализации капиллярного движения жидкости с заряженной свободной поверхностью, отметим следующее.

Величина инкремента неустойчивой по отношению к поверхностному заряду ветви капиллярных движений существенно зависит от характерного времени релаксации вязкости и величины поверхностной плотности заряда. При достаточно больших значениях поверхностной плотности заряда (параметра  $W$ ) инкремент неустойчивости с увеличением безразмерного характерного времени релаксации  $\tau$  растет весьма заметно.

Диапазон значений волновых чисел, в пределах которого наблюдается неустойчивость поверхности по отношению к поверхностному заряду, определяется только величиной безразмерного параметра Тонкса–Френкеля  $W$  и не зависит от характерного времени релаксации вязкости, хотя значение волнового числа наиболее неустойчивой при  $W = \text{const}$  волны с ростом  $\tau$  слабо увеличивается.

Для фиксированного значения волнового числа  $k = \text{const}$  диапазон значений характерного времени релаксации  $\tau$ , в котором существуют периодические решения, ограничен, но расширяется с ростом волнового числа  $k$ .

При достаточно большом значении характерного времени релаксации  $\tau$  ветви капиллярно-гравитационных и релаксационных волн объединяются в единое составное

движение, существующее при всех значениях волновых чисел  $k$ , в том числе соответствующих и чисто гравитационным волнам ( $k \rightarrow 0$ ).

При уменьшении характерного времени релаксации  $\tau$  декременты затухания капиллярных движений жидкости релаксационной природы быстро растут.

## Список литературы

- [1] Быковский Ю.А., Манькин Э.А., Полуэктов П.П. и др. // ЖТФ. 1976. Т. 46. Вып. 11. С. 2211–2213.
- [2] Левачова Г.А., Манькин Э.А., Полуэктов П.П. // Изв. АН СССР. МЖГ. 1985. № 2. С. 17–22.
- [3] Tejero C.F., Baus M. // Molecular Physics. 1985. Vol. 54. N 6. P. 1307–1324.
- [4] Алиев И.Н. // Магнитная гидродинамика. 1987. № 2. С. 78–82.
- [5] Григорьев О.А., Ширяева С.О. // Изв. РАН. Механика, жидкости и газы. 1996. № 1. С. 98–105.
- [6] Ширяева С.О., Григорьев О.А., Муничев М.И., Григорьев А.И. // ЖТФ. 1996. Т. 66. Вып. 10. С. 47–62.
- [7] Баструков С.И., Молодцова И.В. // ДАН. 1996. Т. 350. № 3. С. 321–323.
- [8] Бадмаев Б.Б., Лайдабон Ч.С., Дерягин Б.В., Базарон У.В. // ДАН СССР. 1992. Т. 322. № 2. С. 307–311.
- [9] Френкель Я.И. Кинетическая теория жидкостей. Л.: Наука, 1975. 592 с.
- [10] Френкель Я.И. // ЖЭТФ. 1936. Т. 6. Вып. 4. С. 348–350.
- [11] Ландау Л.Д., Лифшиц Е.М. Электродинамика сплошных сред. М.: Наука, 1982. 623 с.
- [12] Левич В.Г. Физико-химическая гидродинамика. М.: Физматгиз, 1959. 699 с.
- [13] Ширяева С.О., Григорьев О.А. // Письма в ЖТФ. 1999. Т. 25. Вып. 2. С. 1–4.
- [14] Григорьев А.И., Ширяева С.О., Коромыслов В.А., Белоножко Д.Ф. // ЖТФ. 1997. Т. 67. Вып. 8. С. 27–33.